

بررسی تأثیر روش‌های پوشش‌دهی مختلف بر استحکام باند رزین به زیرکونیا

دکتر مریم معزی‌زاده^{*}، دکتر هانیه نوجه‌دهیان^{**}، دکتر هاله ولی‌زاده حقی^{***}

چکیده

سابقه و هدف: یک مشکل کلینیکی در استفاده از ساختارهای زیرکونیایی، دستیابی به اتصال مناسب با سوبسترها می‌باشد. هدف مطالعه حاضر ایجاد پوشش بیوگلاس و سیلیکا بر روی سوبسترای زیرکونیایی و بررسی تأثیر این لایه در استحکام باند ریز برشی سمان رزینی به زیرکونیای تتراگونال بود.

مواد و روشها: مطالعه به صورت تجربی آزمایشگاهی بر روی دیسک‌های زیرکونیایی انجام شد. ۱۲۰ نمونه بر روی دیسک‌های زیرکونیای (Zirconzahn) YTZP (Zirconzahn) تهیه شده، بر حسب تغییرات سطحی به ۸ گروه تقسیم شدند. این ۸ گروه عبارت بودند از: ۱) گروه کنترل، ۲) سندبلاست^(۳) پوشش پودر بیوگلاس و اچ^(۴) پوشش پودر بیوگلاس، اچ و کاربرد سایلن^(۵) پوشش slurry بیوگلاس و اچ^(۶) پوشش slurry بیوگلاس، اچ و کاربرد سایلن^(۷) پوشش سلیکای کلوئیدی و کاربرد سایلن^(۸) پوشش سلیکای کلوئیدی، اچ و کاربرد سایلن. نمونه‌ها تحت آزمون استحکام باند ریز برشی قرار گرفتند. در گروه‌های دارای پوشش، ضخامت لایه پوشش اندازه‌گیری شد. آنالیز آماری بر حسب مورد توسط آزمون‌های Kruskal-Wallis و ANOVA و جهت مقایسه‌های دو به دو، توسط آزمون‌های Mann Whitney و Dunnett انجام گرفت.

یافته‌ها: میانگین استحکام باند با پوشش سلیکای کلوئیدی و کاربرد سایلن بود ($P < 0.001$). در مقابل تفاوت معنی‌داری بین میانگین استحکام باند با پوشش‌های مختلف گلاس و سندبلاست وجود نداشت و در حقیقت از نظر استحکام باند تفاوتی بین سندبلاست و انواع مختلف پوشش گلاس وجود نداشت. ضخامت لایه پوشش در گروه slurry به طور چشمگیری کمتر از گروه‌های دیگر بود.

نتیجه‌گیری: پوشش بیوگلاس در افزایش استحکام باند سمان رزینی به زیرکونیا در کوتاه مدت مؤثر است.

کلید واژگان: زیرکونیای تتراگونال، سمان رزینی، استحکام باند ریز برشی.

تاریخ تأیید مقاله: ۱۳۹۲/۴/۱۸

تاریخ اصلاح نهایی: ۱۳۹۲/۴/۹

تاریخ دریافت مقاله: ۱۳۹۲/۲/۲۵

Please cite this article as follows:

Moezzyzadeh M, Nojehdehyan H, Valizadeh Haghi H. Effect of different coating methods on resin bond strength to zirconia. J Dent Sch 2013; 31(1): 22-30.

مقدمه

قرار می‌گیرد^(۱). این سرامیک پایدار شده از مکانیسم استحکام فازی جهت برخورداری از خصوصیات مکانیکی برتر بهره می‌برد^(۲) با این وجود، روش‌های رایج سمان کدن/ اتصال مورد استفاده، در مورد ترمیم‌های زیرکونیایی، استحکام باند کافی را در بسیاری از کاربردها فراهم نمی‌سازند^(۳,۴). همچنین به علت ماهیت خنثی، عوامل شیمیایی مانند اغلب اسیدها، بازها یا حلول‌ها تأثیری بر این ماده نداشتند^(۵). به علت ترکیب غیرسلیکایی عامل اتصال سایلن نیز مؤثر نمی‌باشد. بهبود روش‌های باندینگ به سیستم‌های زیرکونیایی، جهت گیر بالا، جلوگیری از میکرولیکج و افزایش مقاومت به شکست و خستگی حائز اهمیت است^(۶).

برخی از روش‌هایی که جهت ارتقاء اتصال به زیرکونیا

معرفی ۳Y-TZP یا زیرکونیای پایدار شده توسط بیتریا به دندانپزشکی در دهه‌های اخیر مورد توجه ویژه‌ای قرار گرفته است. این ماده به دلیل خصوصیات مکانیکی عالی، نمای زیبا و زیست سازگاری، به عنوان جایگزینی برای ترمیم‌های فلزی و فلزی-سرامیکی مطرح شده است^(۱-۳). پیشرفت سیستم‌های CAD/CAM نیز، امکان استفاده روتین از این سرامیک دارای استحکام بالارا در ساخت ترمیم‌های زیبایی غیر مستقیم فراهم کرده است^(۱,۳). زیرکونیا ماهیت پلی‌مورفیک داشته، در سه فرم کریستالی یافت می‌شود: مونوکلینیک در دماهای پایین، تتراگونال در دماهای بالاتر از ۱۱۷۰ درجه سانتی‌گراد و کیوبیک در دماهای بالاتر از ۲۳۷۰ درجه سانتی‌گراد. افزودن بیتریا جهت پایدار شدن فاز تتراگونال در دمای اتاق مورد استفاده

* دانشیار گروه دندانپزشکی ترمیمی، دانشکده دندانپزشکی، دانشگاه علوم پزشکی شهید بهشتی.

** استادیار گروه مواد دندانی، دانشکده دندانپزشکی، دانشگاه علوم پزشکی شهید بهشتی.

*** نویسنده مسئول: دستیار تخصصی گروه دندانپزشکی ترمیمی، دانشکده دندانپزشکی، دانشگاه علوم پزشکی شهید بهشتی.

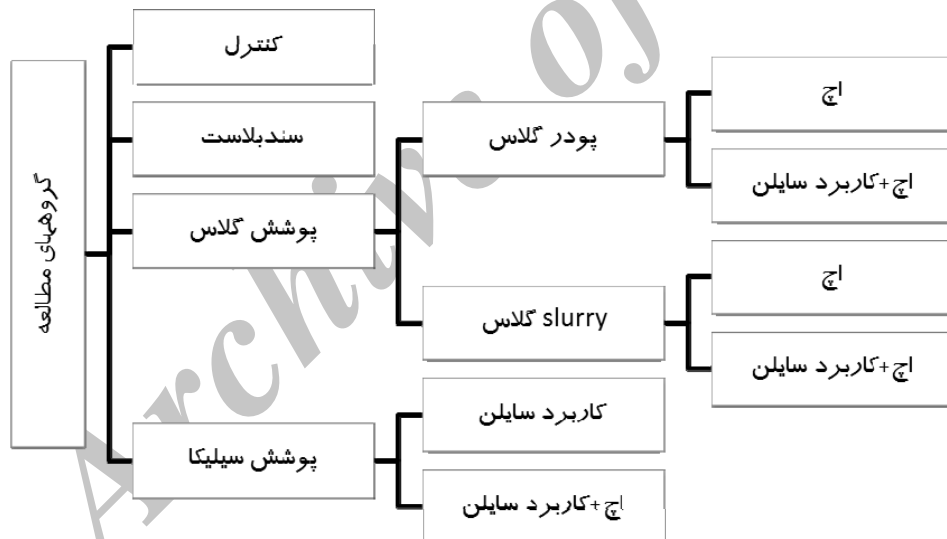
بر افزایش استحکام باند سمان رزینی صورت پذیرفت. فرضیه صفر مطالعه این بود که روش‌های پوشش‌دهی تأثیری بر استحکام باند سمان رزینی به زیرکونیا ندارند.

مواد و روشها:

در مطالعه تجربی آزمایشگاهی بر روی دیسک‌های زیرکونیایی انجام شد. تعداد ۱۲۰ نمونه در این مطالعه به کار رفت. نمونه‌ها بر روی دیسک‌های زیرکونیا با ابعاد $10 \times 7 \times 2$ میلی‌متر تهیه شدند. این دیسک‌ها از بلوك‌های زیرکونیا (Zirconzahn) YTZP (Zirconzahn) برش داده شده، طبق دستورالعمل کارخانه سازنده سینتر شدند. تمامی دیسک‌ها قبل از هرگونه تغییرات سطحی به مدت ۱۰ دقیقه توسط اتانول ۹۸٪ (بیدستان، ایران) در شوینده اولتراسونیک تمیز شدند. نمونه‌ها در ۸ گروه مطالعه قرار گرفتند (هر گروه ۱۵ نمونه). گروه‌های مطالعه در شکل ۱ ارائه شده‌اند.

مورد استفاده قرار گرفته‌اند عبارتند از سندبلاست (۸-۱۰)، پوشش تریبوشیمیایی سیلیکا (silicoating) (۱۱-۱۵)، selective infiltration etching استفاده از مونومرهای فسفات استر (۱۶، ۱۷)، اچ داغ (۱۸، ۱۹) و سیلیکا پتانسیل ایجاد آسیب‌های مکانیکی در ساختار زیرکونیا را داشته‌اند که آنها را طی سرویس‌دهی مستعد به ترک‌های شعاعی می‌سازند (۲۱). روش‌های silicoating و اچ داغ، با وجود مؤثر selective infiltration etching بودن، اغلب پیچیده هستند (۴). روش‌های infiltration etching و اچ داغ از نظر تأثیرات مکانیکی مورد بررسی قرار نگرفته‌اند (۲۲).

با توجه به مشکلات و پیچیدگی‌های اکثر روش‌های مورد استفاده در بهبود استحکام باند سمان رزینی به زیرکونیا، مطالعه حاضر با هدف استفاده از چند روش پوشش‌دهی بر سطح زیرکونیا جهت ایجاد لایه حدواسط قابل اچ شدن و امکان بهره‌مندی از عامل اتصال سایلن و بررسی تأثیر آنها



شکل ۱- گروه‌های مطالعه

سیست حاصل از سندبلاست کردن از سطح زیرکونیا حذف گردد. چهار گروه پوشش بیوگلاس دریافت کردند. جهت ایجاد پوشش از دو روش استفاده شد (در هر گروه ۳۰ نمونه). در روش اول پس از استفاده از یک لایه PVA binder (poly vinyl alcohol, SIGMA, Germany) بر روی

نمونه‌های گروه کنترل بدون تغییرات سطحی بودند. در گروه سندبلاست، دیسک‌ها توسط ذرات آلومینیوم اکسید (True Etch, Ortho technology, Florida) در $5.0 \mu\text{m}$ فشار 4kg/cm^2 با فاصله 10 میلی‌متر به مدت 15 ثانیه توسط دستگاه micro etcher (Danville engineering, USA) سندبلاست شدند. سپس در اولتراسونیک توسط اتانول ۹۶٪ به مدت 10 دقیقه شسته شدند تا هر گونه ذرات

Cleaveland, OH, USA) با قطر ۰/۷ میلی‌متر برای قرار دادن سمان Panavia F2.0 (Kurarray Medical INC) بر سطح دیسکها استفاده شد و سمان توسط دستگاه لایت کیور دیود (SDI) Radiolus به مدت ۴۰ ثانیه نوردهی گردید.

نمونه‌های به مدت ۲۴ ساعت در آب مقطر در دمای ۳۷ درجه در انکوباتور (PECO, Pooya electronic Co. model:PL-455G) ریزپرسی به دستگاه microtensile tester (BiscoInc, USA) منتقل شدند. بالحیم کردن استوانه‌های ریختگی به صورت عمودی بر روی یک فک این دستگاه، نیروی کششی اعمال شده به نیروی برشی تبدیل شد. اندازه نیرو در نقطه شکست باند توسط دستگاه با سرعت نوک تیغه ۰/۵ میلی‌متر در دقیقه ثبت گردید و مقادیر استحکام باند ریز برشی طبق فرمول زیر به دست آمد: $S=F(N)/A(mm)$

تعیین نحوه شکست:

سطوح شکسته نمونه‌های مطالعه پس از اندازه‌گیری استحکام باند، از نظر تعیین نحوه شکست توسط استریومیکروسکوپ نوری (CARL, Zeiss, Germany) (LED radiation, BO913 JANSJO, China) مشاهده شدند. نحوه شکست بر اساس طبقه بندی زیر تعیین گردید:

۱- شکست ادھری: شکست در اینترفیس شامل اینترفیس بین سمان و زیرکونیا، سمان و لایه پوشش، زیرکونیا و لایه پوشش

۲- شکست کوهزیو: شکست در یکی از سوبستراها شامل لایه سمان، پوشش یا زیرکونیا

۳- شکست مخلوط: ترکیبی از شکستهای ادھری و کوهزیو

تعیین ضخامت لایه پوشش:

در گروه‌هایی که پوشش دریافت کردند ضخامت دیسکها قبل از اعمال لایه پوشش و پس از آن توسط میکرومتر دیجیتالی (Mitutoyo, Mitutoyo Corporation, Japan) با دقت ۱۲۰ اندازه‌گیری شد و

سوبسترا، پودر بیوگلاس به سطح اعمال گردید. جهت این کار، پودر بر سطحی مسطح قرار گرفته، سطح آن توسط اسپاتول محکمه صاف شد. دیسک پس از دریافت لایه binder به طور معکوس با سطح پودر در تماس قرار گرفت. در روش دوم یک slurry از بیوگلاس، آب مقطر و PVA به ترتیب با نسبت‌های ۵۰۰ µg binder ۱ سی سی و ۱ سی سی تهیه و روی دیسکها توسط میکروبراش (TPC Advanced Technology, fine) اعمال شد. سپس نمونه‌ها در کوره با سرعت ۱۰۰ درجه سلسیوس در ساعت تا مای ۱۲۰ درجه حرارت داده شده، به مدت ۲ ساعت در این دما نگه داشته شدند. سپس با سرعت ۲۰۰ درجه در ساعت خنک شدند. ترکیب پودر بیوگلاس استفاده شده، بیوگلاس ۴۵S5 با ترکیب ۴۵ wt.% SiO₂, 24.5 wt.% Na₂O, 24.5 wt.% CaO and 6 wt.% P₂O₅ ساخت پژوهشگاه مواد و انرژی بود. هر کدام از گروه‌های پوشش گلاس به دو گروه تقسیم شدند. در یک گروه سطح دیسکها به مدت ۶۰ ثانیه توسط اسید هیدروفلوریک (Ultradent Porcelain Etch, Ultradent Products, USA) اچ و به مدت ۹۰ ثانیه توسط سرنگ آب و هواشسته و خشک گردید. در گروه دوم، پس از اچ با اسید هیدروفلوریک، عامل سایلن (Ultradent silane, Ultradent Products, USA) طبق دستورالعمل سازنده به سطح اعمال و اجراهه داده شد تا خشک شود.

دو گروه نیز پوشش سیلیکا دریافت کردند، به این نحو که دیسکهای زیرکونیا داخل سیلیکای کلوئیدی غوطه‌ور شدند. سپس دیسکها خارج شده، پس از خشک شدن طبق برنامه حرارتی ذکر شده در گروه گلاس تحت پخت قرار گرفتند. سپس یک گروه به مدت ۳۰ ثانیه با اسید هیدروفلوریک اچ شده، ۶۰ ثانیه شسته و خشک گردید. بعد سایلن اعمال شد. گروه دوم صرفاً سایلن دریافت نمود.

پس از آماده‌سازی نمونه‌ها از tygontube (Tygon, Norton Performance plastic,

یافته‌ها:

مقادیر توصیفی استحکام باند گروه‌های مطالعه در جدول ۱ ارائه شده‌اند. با بررسی متغیر استحکام باند در گروه‌های متعدد با استفاده از آزمون آنالیز واریانس مشخص شد مقادیر استحکام باند در گروه‌های مختلف مطالعه تفاوت معنی‌داری دارد ($P < 0.001$). در آزمون تعقیبی dunnett میانگین استحکام باند تمام گروه‌های مطالعه در مقایسه با گروه کنترل تفاوت معنی‌داری نشان می‌داد، به نحوی که گروه‌های سندبلاست و گروه‌های پوشش بیوگلاس استحکام باند بیشتر و گروه‌های پوشش سیلیکا کلوئیدی استحکام باند کمتر نسبت به گروه کنترل داشتند ($P < 0.001$). به این ترتیب فرضیه صفر مطالعه رد شد.

ضخامت لایه پوشش از اختلاف دو مقدار محاسبه گردید.

مقادیر استحکام باند ریز برشی در گروه‌های مختلف مطالعه بر حسب شاخص‌های پراکنده‌گی مرکزی شامل میانگین، انحراف معیار، حداقل و حداکثر گزارش شد. همچنین توزیع داده‌ها با استفاده از آزمون Kolmogorov-Smirnov ارزیابی شده، با توجه به توزیع تقریباً نرمال (هیستوگرام با منحنی توزیع نرمال) از آزمون ANOVA و آزمون تعقیبی dunnett استفاده شد. در مورد ضخامت لایه مقادیر توصیفی در جداول مربوطه ذکر و برای مقایسه ضخامت لایه در گروه‌های پوشش‌دار از آزمون‌های Mann Whitney و Kruskal Wallis استفاده شد.

جدول ۱- مقادیر توصیفی استحکام باند

استحکام باند ریز برشی بر حسب مگاپاسکال					گروه‌ها
میانگین	انحراف معیار	حداکثر	حداقل	میانگین	
۲۲/۶۶	۴/۱۴۸	۱۷/۴۱	۳۰/۱۶	۲۴/۴۲	کنترل
۴۴/۲۰	۷/۲۲۶	۳۴/۵۸	۵۸/۷۵	۴۴/۸۴	سندبلاست
۳۹/۵۰	۷/۶۷۵	۲۶/۵۲	۵۲/۵۲	۳۹/۵۶	پودر گلاس+اج
۴۲/۶۹	۶/۹۵۲	۳۲/۰۰	۵۹/۵۴	۴۱/۰۸	پودر گلاس+اج+سایلن
۳۸/۳۸	۴/۷۱۹	۲۲/۸۶	۴۶/۲۸	۳۷/۴۴	slurry
۴۲/۴۱	۷/۷۱۶	۳۰/۴۲	۵۵/۳۸	۴۰/۸۲	اسلوری گلاس+اج+سایلن
۱۳/۵۵	۵/۵۲۵	۹/۰۹	۲۷/۵۶	۱۱/۱۸	سیلیکا+سایلن
۱۲/۲۵	۴/۷۱۹	۸/۳۱	۲۷/۰۴	۱۱/۱۸	سیلیکا+اج+سایلن

اج، ۹۱/۶۶٪ شکست مخلوط از ایترفیس سمان به گلاس و ۸/۲۳٪ مواد از ایترفیس گلاس به زیرکونیا و در گروه پوشش slurry، اج و سایلن، از بین شکست‌های مخلوط، ۸۰٪ از ایترفیس سمان به گلاس و ۲۰٪ از ایترفیس گلاس به زیرکونیا و شکست ادھریو در ایترفیس گلاس به زیرکونیا رخ داده بود. در مورد گروه‌های پوشش سیلیکا در تمامی شکست‌های ادھریو سطح زیرکونیا عریان بود.

بررسی ضخامت:

مقادیر توصیفی ضخامت لایه پوشش در گروه‌های پوشش‌دهی در جدول ۲ ارائه شده‌اند. با توجه به حجم نمونه در مورد متغیر ضخامت از آزمون Kruskal Wallis استفاده شد و تفاوت معنی‌داری بین گروه‌ها نشان داده شد. در مقایسه‌های دو به دو توسط آزمون Mann Whitney

در مقایسه گروه‌های مختلف با گروه سندبلاست (کنترل مثبت)، تفاوت معنی‌داری در میانگین استحکام باند با پوشش سیلیکا (سیلیکا+سایلن و سیلیکا+اج+سایلن) در مقایسه با سند بلاست وجود داشت ($P = 0.001$ و $P = 0.005$). در مقابل تفاوت معنی‌داری بین میانگین استحکام باند با پوشش‌های مختلف گلاس و سندبلاست وجود نداشت. در حقیقت از نظر استحکام باند تفاوتی بین سندبلاست و انواع مختلف پوشش گلاس وجود نداشت، تنها استثنای گروه slurry و اج بود که در مقایسه با سندبلاست استحکام باند کمتر از ۶/۴۵ مگاپاسکال داشت که از نظر آماری بصورت مرزی معنی‌دار بود ($P = 0.05$).

در گروه‌های پوشش پودر گلاس تمام شکست‌های مخلوط از ایترفیس سمان به لایه گلاس، در گروه پوشش slurry و

طور چشمگیری بیش از دو گروه دیگر بود. تفاوت بین گروه‌های slurry گلاس و سیلیکا به طور مرزی معنی‌دار بود ($P=0.078$).

تفاوت معنی‌داری بین گروه‌های پودر گلاس و slurry گلاس ($P=0.004$) و گروه‌های پودر گلاس و سیلیکا ($P=0.004$) به دست آمد. ضخامت لایه پوشش در گروه پودر گلاس به

جدول ۲. مقادیر توصیفی مربوط به ضخامت

ضخامت لایه پوشش بر حسب میکرون				گروه‌ها	
ضخامت	میانگین	میانه	انحراف معیار	حداکثر	حداقل
۳۵۲	۲۸۳/۵۰	۲۷۰/۸۳	۵۸/۵۹۵	۱۹۱	۲۵۲
۹۱	۴۶/۶۷	۳۷/۰۰	۲۳/۵۹۴	۲۹	۹۱
۱۰۸	۷۶/۵۰	۷۹/۰۰	۲۱/۸۱۵	۴۰	۱۰۸

گروه پوشش slurry گلاس و اج بود که به طور مرزی استحکام باند کمتری نسبت به گروه سندبلاست نشان داد. در گروه slurry یک دوغابه از پودر گلاس، آب و binder تهیه و به سطح زیرکونیا اعمال شد. می‌توان گفت در این روش نسبت به گروه پوششی پودر گلاس مقدار ذرات گلاس موجود در سطح کمتر بوده، احتمال پوشش ناکامل در بعضی نواحی منطقی به نظر می‌رسد. با این وجود، در گروه slurry در صورت استفاده از عامل سایلن پس از اج، مقادیر استحکام باند افزایش یافته، به حد گروه سندبلاست رسید. به دلیل عدم تشابه مواد به کار رفته و روند آماده‌سازی نمونه‌ها در مطالعات مختلف، مقایسه دقیق نتایج امکان‌پذیر نمی‌باشد. در مطالعه Valentino و همکاران (۲۰۱۲)، استفاده از لایه Glaze (cercon Liner, Degudent)، استحکام باند بیشتری نسبت به گروه سندبلاست (با ذرات آلومنیای $50\text{ }\mu\text{m}$ نشان داد) ($P=0.027$) که با نتایج مطالعه حاضر متفاوت بود. با توجه به شرایط سندبلاست مشابه، این اختلاف را می‌توان به ترکیب متفاوت لایه پوشش و اختلاف در زمان اسید اج مربوط دانست. در مطالعه Valentino (۲۰۱۲) از زمان اج کوتاهتری ($20\text{ }^{\circ}\text{C}$) استفاده گردید. در مطالعه Cura و همکاران (۲۰۱۲)، اسید اج سطح زیرکونیا پس از عامل لایه Glaze و استفاده از سایلن، استحکام باند برشی سمان رزینی را افزایش داد اما در مواردی که به جای سایلن از پرایمر حاوی MDP استفاده می‌شد، لایه Glaze اج شده، در افزایش استحکام باند مؤثر نبود ($P=0.28$). در مطالعه Usumez و همکاران (۲۰۱۳) نیز پرایمرهای حاوی MDP در گروه‌های glaze و اج شده، به اندازه گروه سندبلاست مؤثر نبودند ($P=0.29$). MDP اتصال بین سمان رزینی و سرامیک زیرکونیا را ارتقا می‌بخشد ($P=0.20$). به نظر می‌رسد تأثیر پرایمرهای حاوی MDP با

بحث:

در این مطالعه، اثر دو نوع پوشش بیوگلاس و یک پوشش سیلیکا بر سطح زیرکونیا در افزایش استحکام باند سمان رزینی مورد بررسی قرار گرفت و نتایج آزمون استحکام باند ریزبرشی تفاوت معنی‌داری نسبت به گروه کنترل نشان داد، به این ترتیب فرضیه صفر مطالعه رد شد. در این مطالعه روش سندبلاست به عنوان کنترل مثبت در نظر گرفته شد و روش‌های تغییرات سطحی مختلف با این روش موردن مقایسه قرار گرفتند. ابریزن توسعه ذرات در گروهی از مطالعات، مؤثرترین روش در تغییر سطحی زیرکونیا در نظر گرفته می‌شود به نحوی که خشونت سطحی را افزایش داده، سبب اینترلاکینگ میکرومکانیکی عامل لوتینگ می‌گردد (۲۰،۲۲). در مطالعه حاضر نیز مقادیر استحکام باند در مقایسه با گروه کنترل افزایش معنی‌داری نشان داد که در هماهنگی با نتایج این مطالعات بود.

در این مطالعه، در یک روش از نوعی بیوگلاس برای ایجاد پوشش بر روی سوبسترازی زیرکونیایی به روش firing استفاده گردید تا لایه‌ای حدواسط و قابل اج شدن در سطح زیرکونیا ایجاد گردد. در مطالعات متعددی از این نوع پوشش جهت بهره‌گیری از خصوصیت بیوآکتیویته گلاس و عملکرد مکانیکی زیرکونیا بر روی ایمپلنت‌های زیرکونیایی استفاده شده است (۲۶-۲۴). از شرایط اولیه یک ماده برای ایجاد پوشش بر سطح سوبسترا، هماهنگی ضریب انبساط حرارتی (CTE) ماده با سوبسترا می‌باشد (۰.۰۵-۰.۰۴) نزدیک بودن CTE بیوگلاس به زیرکونیا از تشکیل ترک در گلاس یا اینترفیس گلاس/ سوبسترا حین سرد شدن به دمای اتاق در اثر استرس‌های حرارتی باقیمانده ممانعت می‌کند (۲۴).

مقادیر استحکام باند گروه‌های مختلف پوشش گلاس قابل مقایسه با گروه سندبلاست (کنترل مثبت) بود. تنها استننا،

همانگی بین ضریب انبساط حرارتی سیلیکا و زیرکونیا مربوط باشد.

مقادیر استحکام باند کمتر نسبت به گروه کنترل، به حضور سیلیکای فاقد اتصال قوی در حدفاصل سمان و سوبستراتی زیرکونیایی و ایجاد تداخل در باند نسبت داده می‌شود.

در مورد گروههای پوشش گلاس، در گروه پوشش پودر و اچ، اکثر شکست‌ها به صورت مخلوط ($83/33\%$) بودند و با کاربرد عامل اتصال سایلن، از میزان شکست مخلوط کاسته شده، به شکست کوهزیو سمان افزوده می‌شد. که نشان‌دهنده تأثیر سایلن در بهبود باند سمان رزینی به گلاس می‌باشد. در ضمن در این گروه‌ها هیچ شکستی از اینترفیس لایه گلاس و سوبستراتی زیرکونیا دیده نشد و می‌توان گفت اتصال لایه گلاس به زیرکونیا به روش پودر، از اتصال سمان رزینی به گلاس قوی‌تر است. در گروه پوشش slurry گلاس و اچ، تمامی شکست‌ها به صورت مخلوط بود. در یک مورد این شکست مخلوط از اینترفیس لایه گلاس به سوبستراتی زیرکونیا رخ داده بود که می‌تواند نشان‌دهنده اتصال ضعیفتر گلاس در این روش پوشش‌دهی یا پوشش ناقص سطح باشد که با نتایج آزمون استحکام باند نیز همخوانی دارد. در این روش پوشش‌دهی پس از استفاده از سایلن، در $8/33\%$ موارد شکست کوهزیو پس از استفاده از کاربرد سایلن باند نیز می‌تواند گروه، یک شکست ادهزیو و دو شکست مخلوط از اینترفیس گلاس به زیرکونیا اتفاق افتد. این حالت نیز می‌تواند نشان‌دهنده اتصال ضعیفتر گلاس در این روش پوشش‌دهی یا پوشش ناقص سطح باشد.

در مطالعه Kitayama و همکاران (۲۰۰۹) در گروه دارای پوشش پرسلن، هیچ شکست ادهزیوی در اینترفیس بین زیرکونیا و لایه ونیر ایجاد نشد و هیچ شکست کوهزیوی نیز در پرسلن ونیر کننده رخ نداد که نشان می‌دهد اتصال پرسلن ونیرکننده به زیرکونیا قویتر از اتصال سمان به پرسلن بوده است (۳۰). در مطالعه Everson و همکاران (۲۰۱۲) در گروه دارای لایه glaze در ارزیابی‌های SEM اکثربت شکست‌ها به صورت مخلوط بود (۳۱) که در همانگی با نتایج مطالعه حاضر می‌باشد. در گروههای پوشش سیلیکا، تمامی شکست‌ها از نوع ادهزیو و از اینترفیس لایه پوشش با زیرکونیا مشاهده شد که در تأیید عدم اتصال لایه سیلیکا به زیرکونیای زیرین می‌باشد.

پوشیده شدن سطح زیرکونیا با لایه glaze از دست می‌رود (۲۹). در مطالعه حاضر از سمان رزینی Panavia استفاده شد که حاوی مونومر MDP است؛ با این وجود، گروههای دارای پوشش گلاس پس از اچ مقادیر استحکام بالایی در حد گروه سندبلاست نشان دادند. در مقایسه با مطالعات قبلی، این افزایش را می‌توان احتمالاً به ترکیب متفاوت لایه گلاس و خشونت سطحی و گیر میکرومکانیکی بیشتر گروههای اچ شده نسبت داد. در مطالعات مذکور از لایه glaze دارای نقطه ذوب پایین استفاده شده است که لایه‌ای آمورف ایجاد می‌کند اما در این مطالعه، کریستالی شدن لایه گلاس طی عملیات حرارتی پخت رخ داده، پس از اچ شدن با اسید هیدروفلوریک، الگوی اچ متفاوتی نشان می‌دهد.

مسئله بعد در مورد استفاده از سایلن در گروههای پوشش گلاس می‌باشد که افزایش معنی‌داری در استحکام باند نشان slurry نداد؛ با این وجود، این میزان افزایش در مورد گروه سندبلاست گردید. سبب افزایش استحکام باند در حد گروه سندبلاست گردید. استفاده از سایلن در سرامیک‌های دارای پایه سیلیکا، سبب تشکیل شبکه سیلوکسان در سطح سرامیک شده، باند سرامیک با سمان‌های رزینی را افزایش می‌دهد (۶). در مطالعه Valentino و همکاران (۲۰۱۲)، که از لایه glaze (Cercon Ceram Liner, Degudent) استفاده شد، پس از اچ و کاربرد سایلن افزایش قابل توجهی در مقادیر استحکام باند مشاهده نشد که در همانگی با نتایج مطالعه حاضر می‌باشد. ایشان این یافته را با از دست رفتن قسمت قابل توجه لایه glaze در اثر اچ و سندبلاست توجیه کردند (۲۷). در مطالعه Kitayama و همکاران (۲۰۰۹)، استفاده از سایلن بر روی لایه پرسلن پوشش داده شده (Cercon Ceram Kiss, Degudent)، استحکام باند سمان رزینی را به طور چشمگیری افزایش داد که در تضاد با مطالعه حاضر است (۳۰). در مطالعه فعلی به دلیل ترکیب سیلیکایی پوشش گلاس، استفاده از سایلن باعث افزایش در استحکام باند گردید اما به دلیل محتوای سیلیکایی کمتر (۴۵%) در مقایسه با پرسلن‌های فلدسپاتیک، این افزایش اندک بود.

در گروههای دارای پوشش سیلیکا، مقادیر استحکام باند به طور معنی‌داری کمتر از گروه کنترل و سندبلاست بود. به نظر می‌رسد این روش پوشش‌دهی با موفقیت همراه نبوده است. این امر می‌تواند به مرطوب‌سازی ناکافی سطح زیرکونیا توسط سیلیکا، عدم استفاده از binder و عدم

- پوشش بیوگلاس به روش پودر و slurry توسط پخت بر سطح زیرکونیا امکان‌پذیر است.
- پوشش بیوگلاس به روش پودر در افزایش استحکام باند سمان رزینی به زیرکونیا در کوتاه مدت مؤثر است.
- پوشش بیوگلاس به روش slurry در افزایش استحکام باند سمان رزینی به زیرکونیا در کوتاه مدت مؤثر است.
- پوشش بیوگلاس بر سطح زیرکونیا در کوتاه مدت به اندازه روش سندبلاست در افزایش استحکام باند سمان رزینی مؤثر است.
- پوشش سیلیکای کلوئیدی به روش این مطالعه بر سطح زیرکونیا موفق نیست.
- پوشش سیلیکای کلوئیدی سبب کاهش استحکام باند سمان رزینی به زیرکونیا می‌گردد.
- پوشش بیوگلاس به روش slurry کمترین ضخامت را نسبت به روش‌های دیگر دارد.

ارزیابی ضخامت

در مطالعه حاضر بین روش‌های مختلف پوشش‌دهی، گروه slurry گلاس کمترین ضخامت لایه پوشش را نشان داد. در مطالعه Ferraris و همکاران (۲۰۰۰) که بیوگلاس مستقیماً به صورت پودر پوشش داده شده بود، ضخامت ۱۰۰–۳۰۰ میکرون گزارش شد(۲۴) که مشابه مطالعه حاضر می‌باشد. در مطالعه Krajewski و همکاران (۱۹۹۸) از سوسپانسیون گلاس استفاده شد و ضخامت لایه حاصل بر حسب سیالیت سوسپانسیون از ۱۰۰ تا ۴۰ میکرون متغیر بود(۲۵). Everson و همکاران (۲۰۱۲) که از لایه glaze استفاده کردند ضخامت ۱۲۰ میکرون را گزارش کردند. تکنولوژی CAD/CAM توانایی در نظر گرفتن ضخامت لایه پوشش داخلی جهت حفظ تطابق و نشست ترمیم را دارد. با این حال بریج‌های ادھزیو با بالچه‌های نگهدارنده دارای ژئومتری ساده‌تر مشکلات کمتری از لحاظ تطابق خواهند داشت(۳۱).

نتیجه‌گیری:

با در نظر داشتن محدودیت‌های این تحقیق می‌توان نتیجه گرفت:

References

1. Lüthy H, Filser F, Loeffel O, Schumacher M, Gauckler LJ, Hammerle CH. Strength and reliability of four-unit all-ceramic posterior bridges. Dent Mater 2005;21:930–937.
2. Denry I, Kelly JR. State of the art of zirconia for dental applications. Dent Mater 2008; 24: 299-307.
3. Manicone PF, Rossi Iommelli P, Raffaelli L. An overview of zirconia ceramics: basic properties and clinical applications. J Dent 2007; 35: 819–826.
4. Thompson JY, Stoner BR, Piascik JR, Smith R. Adhesion/cementation to zirconia and other non-silicate ceramics: Where are we now? Dent Mater 2011; 27:71-82.
5. Kelly JR, Denry I. Stabilized zirconia as a structural ceramic:an overview. Dent Mater 2008; 24: 289–298.
6. Blatz MB, Sadan A, Kern M. Resin-ceramic bonding: a review of the literature. J Prosthet Dent 2003; 89: 268-274.
7. Blatz MB, Sadan A, Arch GH Jr, Lang BR. In vitro evaluation of long-term bonding of Procera all ceram alumina restorations with modified resin luting agent. J Prosthet Dent 2003; 89: 381-387.
8. Wegner SM, Kern M. Long-term resin bond strength to zirconia ceramic. J Adhes Dent 2000; 2: 139-147.
9. Wegner SM, Gerdes W, Kern M. Effect of different artificial aging conditions on ceramic-composite bond strength. Int J Prosthodont 2002; 15: 267-272.
10. Dérand P, Dérand T. Bond strength of luting cements to zirconium oxide ceramics. Int J Prosthodont 2000; 13: 131-135.
11. Stangel I, Nathanson D, Hsu CS. Shear strength of the composite bond to etched porcelain. J Dent Res

- 1987; 66: 1460-1465.
12. Matinlinna JP, Lassila LV, Vallitu PK. The effect of three silane coupling agents and their blends with a cross-linker silane on bonding a bis-GMA resin to silicatized titanium (a novel silane system). *J Dent* 2006; 34: 740-746.
 13. Matinlinna JP, Lassila LV, Kangasniemi I, Vallitu PK. Isocyanato- and methacryloxy silanes promote Bis-GMA adhesion to titanium. *J Dent Res* 2005; 84: 360-364.
 14. Matinlinna JP, Heikkinen T, Ozcan M, Lassila LV, Vallitu PK. Evaluation of resin adhesion to zirconia ceramic using some organosilanes. *Dent Mater* 2006; 22: 824-831.
 15. Heikkinen TT, Lassila LV, Matinlinna JP, Vallitu PK. Effect of operating air pressure on tribochemical silica-coating. *Acta Odontol Scand* 2007; 65: 241-248.
 16. Janda R, Roulet JF, Wulf M, Tiller HJ. A new adhesive technology for all-ceramics. *Dent Mater* 2003; 19: 567-573.
 17. Mazurat RD, Pesun S. Resin-metal bonding systems: a review of the silicoating and Kevloc systems. *J Can Dent Assoc* 1998; 503-507.
 18. Aboushelib MN, Kleverlaan CJ, Feilzer AJ. Selective infiltration-etching technique for a strong and durable bond of resin cements to zirconia-based materials. *J Prosthet Dent* 2007; 98: 379-388.
 19. Casucci A, Monticelli F, Goracci C, Mazzitelli C, Cantoro A, Papacchini F, et al. Effect of surface pretreatments on the zirconia ceramic-resin cement microtensile bond strength. *Dent Mater J* 2011; 27: 1024-1030.
 20. Kern M, Wegner SM. Bonding to zirconia ceramic: Adhesion methods and their durability. *Dent Mater* 1998; 14: 64-71.
 21. Guess PC, Zhang Y, Kim JW, Rekow ED, Thompson VP. Damage and reliability of Y-TZP after cementation surface treatment. *J Dent Res* 2010; 89: 592-596.
 22. Lorenzoni F, Leme V, Santos L, Oliveira P, Martins L, Bonfante G. Evaluation of chemical treatment on zirconia surface with two primer agents and an alkaline solution on bond strength. *Oper Dent* 2012; 37: 625-633.
 23. Atsu SS, Lilicarslan MA, Kucukesmen HC, Aka PS. Effect of zirconium-oxide ceramic surface treatments on the bond strength to adhesive resin. *J Prosthet Dent* 2006; 95: 430-436.
 24. Ferraris M, Verné E, Appendino P, Moisescu C, Krajewski A, Ravaglioli A, et al. Coatings on zirconia for medical applications. *Biomaterials* 2000; 21: 765-773.
 25. Kerajewski A, Ravaglioli A, Mazzocchi M, Fini M. Coating of ZrO₂ supports with a biological glass. *J Mater Sci Mater Med*. 1998; 9:309-316.
 26. Bosetti M, Verné E, Ferraris M, Ravaglioli A, Cannas M. In vitro characterization of zirconia coated by bioactive glass. *Biomaterials* 2001; 22: 987-994.
 27. Valentino TA, Borges GA, Borges LH, Platt JA, Correr-Sobrinho L. Influence of glazed zirconia on dual-cure luting agent bond strength. *Oper Dent* 2012; 37: 181-187.
 28. Cura C, Özcan M, Isik G, Saracoglu A. Comparison of alternative adhesive cementation concepts for zirconia ceramic: glaze layer vs zirconia primer. *J Adhes Dent* 2011; 14: 75-82.
 29. Usumez A, Hamdemirci N, Koroglu BY, Simsek I, Parlar O, Sari T. Bond strength of resin cement to

- zirconia ceramic with different surface treatments. Lasers Med Sci 2013; 28: 259-266.
30. Kitayama S, Nikaido T, Maruoka R, Zhu L, Ikeda M, Watanabe A, et al. Effect of an internal coating technique on tensile bond strengths of resin cements to zirconia ceramics. Dent Mater J 2009; 28: 446-453.
31. Everson P, Addison O, Palin WM, Burke FJ. Improved bonding of zirconia substructures to resin using a “glaze-on” technique. J Dent 2012; 40: 347-351.

Archive of SID